

ТРАНСМУТАЦИЯ ИЗОТОПА ^{165}Ho В ИНТЕНСИВНОМ ПОТОКЕ γ -КВАНТОВ

Б. С. Ишханов, И. А. Лютиков, С. И. Павлов

(НИИЯФ)

E-mail: kabin@depni.sinp.msu.ru, bsi@depni.sinp.msu.ru

В статье рассматривается трансмутация изотопа ^{165}Ho при воздействии пучка тормозного γ -излучения с интенсивностью потока $\Phi = 10^{17}$ фотон · с⁻¹. Анализируется влияние на формирование трансмутационной цепочки короткоживущего изотопа ^{164}Ho , образующегося в результате реакции (γ -n), распадающегося со сравнимой интенсивностью по β^+ , β^- каналам.

Исследовалась трансмутация изотопа ^{165}Ho в интенсивном потоке тормозного γ -излучения. Исследование было выполнено методом компьютерного моделирования. В качестве исходного был выбран изотоп ^{165}Ho , так как он является единственным стабильным изотопом гольмия. На рис. 1 показана таблица, представляющая собой фрагмент $N-Z$ диаграммы окружения изотопа ^{165}Ho . В этой таблице использованы следующие сокращения и обозначения: первый столбец — порядковый номер элемента (Z), в строках указаны изотопы данного элемента, верхний индекс изотопа — массовое число (A), строка под изотопом соответствует периоду полураспада для радиоактивных изотопов (м — минуты, ч — часы, д — дни, л — годы) или процентному содержанию данного изотопа в естественной смеси — для стабильного изотопа.

Трансмутация изотопов происходит в результате фотоядерных реакций и последующих β -распадов. Образование каждого элемента трансмутационной цепочки происходит в реакциях (γ -n), (γ -2n) и (γ -p) или в результате β^+ , β^- -распадов. Для всех

элементов трансмутационной цепочки были выбраны следующие соотношения между сечениями фотоядерных реакций [1]:

$\sigma_{\text{tot}} = \frac{60NZ}{A}$ (МэВ · мб) — полное интегральное сечение,

$\sigma_{(\gamma,n)} \sim 0.7\sigma_{\text{tot}}$ — сечение (γ -n) канала,

$\sigma_{(\gamma,2n)} \sim 0.25\sigma_{\text{tot}}$ — сечение (γ -2n) канала,

$\sigma_{(\gamma,p)} \sim 0.05\sigma_{\text{tot}}$ — сечение (γ -p) канала.

Расчет трансмутации изотопа ^{165}Ho был выполнен для интенсивности потока γ -квантов $\Phi = 10^{17}$ фотон · с⁻¹. Время облучения составило 30 мес, а время наблюдения — 90 мес включая время облучения; исходное количество изотопа ^{165}Ho — 10^{22} ядер.

На рис. 2 и в таблице представлено распределение изотопов, образовавшихся на момент окончания облучения $T = 30$ мес. Площадь круга пропорциональна количеству образовавшегося изотопа.

Число ядер исходного изотопа ^{165}Ho на момент окончания облучения составило около 72% от начального. На рис. 2 видно, что накопилось сравнимое количество изотопов ^{163}Ho , ^{164}Er ,

	^{158}Tm	^{159}Tm	^{160}Tm	^{161}Tm	^{162}Tm	^{163}Tm	^{164}Tm	^{165}Tm	^{166}Tm	^{167}Tm
69	3.98м	9.13м	9.4м	30.2м	21.7м	1.81ч	2.0м	30.6ч	7.7д	9.25д
68	^{157}Er	^{158}Er	^{159}Er	^{160}Er	^{161}Er	^{162}Er	^{163}Er	^{164}Er	^{165}Er	^{166}Er
	18.65м	2.2ч	36м	28.58ч	3.21ч	0.14	75.0м	1.61	10.36ч	33.6
67	^{156}Ho	^{157}Ho	^{158}Ho	^{159}Ho	^{160}Ho	^{161}Ho	^{162}Ho	^{163}Ho	^{164}Ho	^{165}Ho
	56м	12.6м	11.3м	33.05д	25.6м	2.48ч	15м	4570л	29м	100
66	^{155}Dy	^{156}Dy	^{157}Dy	^{158}Dy	^{159}Dy	^{160}Dy	^{161}Dy	^{162}Dy	^{163}Dy	^{164}Dy
	9.9ч	0.06	8.14ч	0.10	144.4д	2.34	18.9	25.5	24.9	28.2
65	^{154}Tb	^{155}Tb	^{156}Tb	^{157}Tb	^{158}Tb	^{159}Tb	^{160}Tb	^{161}Tb	^{162}Tb	^{163}Tb
	22.7ч	5.35д	5.32д	99л	180л	100	72.3д	6.68д	7.6м	19.5м
64	^{153}Gd	^{154}Gd	^{155}Gd	^{156}Gd	^{157}Gd	^{158}Gd	^{159}Gd	^{160}Gd	^{161}Gd	^{162}Gd
	241.6д	2.18	14.8	20.47	15.65	24.84	18.48ч	21.86	3.66м	8.4м

Рис. 1. Фрагмент $N-Z$ диаграммы вблизи ^{165}Ho . Использованы следующие обозначения: м — минуты, ч — часы, д — дни, л — годы, ■ — стабильные, □ — β^+ -активные, ▨ — β^- -активные, ▨ — β^-, β^+ -активные

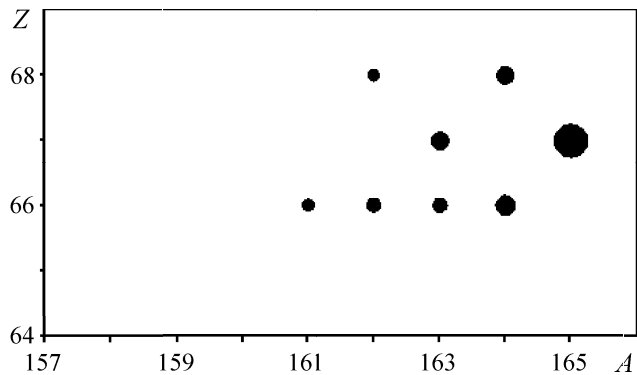
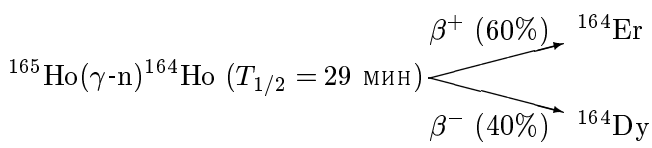


Рис. 2. Ядра трансмутационной цепочки ^{165}Ho . Время облучения $T_{\text{rad}} = 30$ мес. Интенсивность потока γ -квантов $\Phi = 10^{17}$ фотон · s^{-1} . Площадь круга пропорциональна количеству образовавшихся ядер данного изотопа

Количество образовавшихся изотопов на момент окончания облучения ^{165}Ho

Изотоп	A	Z	Количество
Dy	161	66	3.75×10^{19}
Dy	162	66	1.33×10^{20}
Erg	162	68	2.63×10^{19}
Dy	163	66	1.46×10^{19}
Ho	163	67	3.75×10^{20}
Dy	164	66	1.15×10^{21}
Erg	164	68	6.87×10^{20}
Ho	165	67	7.17×10^{21}

^{164}Dy . В результате реакций $^{165}\text{Ho}(\gamma-n)^{164}\text{Ho}$ изотоп ^{165}Ho превращается в короткоживущий изотоп ^{164}Ho ($T_{1/2} = 29$ мин), а реакция $^{165}\text{Ho}(\gamma-2n)^{163}\text{Ho}$ приводит к образованию долгоживущего изотопа ^{163}Ho ($T_{1/2} = 4570$ лет, β^+). Дальнейшее продвижение к более легким изотопам Ho ($A < 163$) в результате реакций $(\gamma-n)$, $(\gamma-2n)$ оказывается сильно подавленным, так как изотопы $^{162-160}\text{Ho}$ являются β^+ -радиоактивными с соответствующими периодами полураспада ^{160}Ho ($T_{1/2} = 25.5$ мин), ^{161}Ho ($T_{1/2} = 2.48$ ч), ^{162}Ho ($T_{1/2} = 15$ мин). Изотоп ^{164}Ho имеет две моды распада (40% — β^- , 60% — β^+), благодаря этому факту возникает интересная особенность в формировании трансмутационной цепочки:



Один канал приводит к накоплению стабильного изотопа ^{164}Er , другой — к образованию стабильного изотопа ^{164}Dy .

Из изотопа ^{164}Er в результате реакции $^{164}\text{Er}(\gamma-2n)^{162}\text{Er}$ образуется стабильный изотоп ^{162}Er , а в реакции $^{164}\text{Er}(\gamma-n)^{163}\text{Er}$

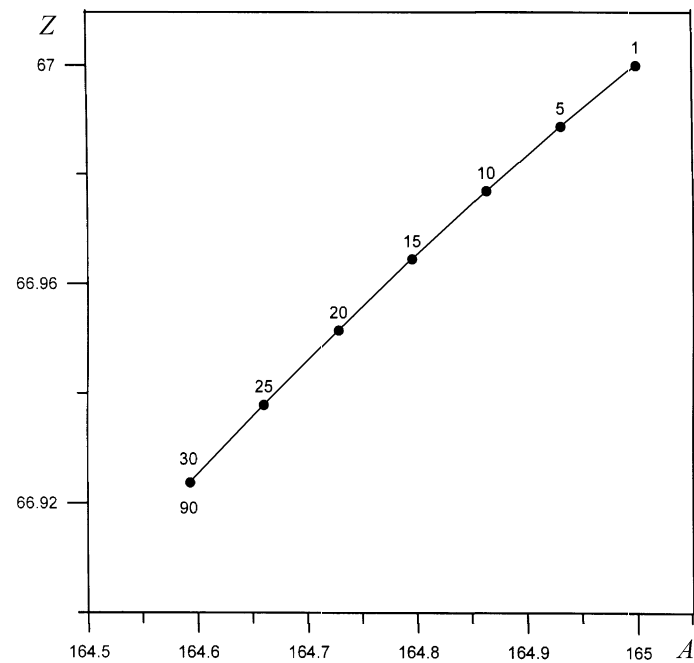


Рис. 3. Траектория трансмутации для интенсивности потока γ -квантов $\Phi = 10^{17}$ фотон · s^{-1} . Время облучения $T_{\text{rad}} = 30$ мес. Полное время наблюдения 90 мес. На траектории трансмутации нанесено время от начала облучения (мес)

($T_{1/2} = 75$ мин, β^+) — короткоживущий изотоп ^{163}Er , который распадается на долгоживущий изотоп ^{163}Ho . Накопление изотопа ^{163}Ho происходит также в результате реакции $^{165}\text{Ho}(\gamma-2n)^{163}\text{Ho}$ ($T_{1/2} = 4570$ лет, β^+) и $^{164}\text{Er}(\gamma-n)^{163}\text{Er}$ ($T_{1/2} = 75$ мин, β^+) ^{163}Ho , сравнимо с количеством изотопа ^{164}Er , образовавшегося только в реакции $^{165}\text{Ho}(\gamma-n)^{164}\text{Ho}$ ($T_{1/2} = 29$ мин, β^-) ^{164}Er . Дальнейшее образование более легких изотопов Er ($A < 162$) в реакциях $(\gamma-n)$, $(\gamma-2n)$ подавлено по причине их малого времени жизни. Из изотопа ^{164}Dy в результате последовательных $(\gamma-n)$, $(\gamma-2n)$ реакций образуются стабильные изотопы $^{161-164}\text{Dy}$. Кроме того, накопление изотопов ^{161}Dy и ^{162}Dy также может происходить в результате β^+ -распадов радиоактивных изотопов Ho. На рис. 2 и 3 видно, что количество изотопов ^{162}Dy и ^{163}Dy практически одинаково. Такая ситуация складывается в связи с тем, что накопление изотопа ^{163}Dy в основном происходит в результате реакции $(\gamma-n)$, а накопление изотопа ^{162}Dy — в результате нескольких реакций: $^{164}\text{Dy}(\gamma-2n)^{162}\text{Dy}$, $^{163}\text{Dy}(\gamma-n)^{162}\text{Dy}$, $^{163}\text{Ho}(\gamma-n)^{162}\text{Ho}$ ($T_{1/2} = 15$ мин, β^+) ^{162}Dy . Образование изотопа ^{161}Dy также происходит в результате фотоядерных реакций $(\gamma-n)$, $(\gamma-2n)$ и в результате β^+ -распада ^{161}Ho ($T_{1/2} = 2.48$ ч β^+).

Общие тенденции трансмутационного процесса позволяет оценить траектория трансмутации. Она представляет собой эволюцию плотностей распре-

делений массового числа A_ρ и заряда ядра Z_ρ в процессе трансмутации во времени. A_ρ и Z_ρ определяются как средневзвешенные по количеству ядер значения A и Z :

$$A_\rho = \frac{\sum A \cdot N(A, Z, t)}{\sum N(A, Z, t)}, \quad Z_\rho = \frac{\sum Z \cdot N(A, Z, t)}{\sum N(A, Z, t)},$$

где $N(A, Z, t)$ — количество изотопа (A, Z) в момент времени t .

На рис. 3 показана траектория трансмутации изотопа ^{165}Ho при интенсивности потока γ -квантов $\Phi = 10^{17}$ фотон \cdot с $^{-1}$. Рядом с траекторией указано время от начала облучения в месяцах.

В связи с тем что основное влияние на формирование трансмутационной цепочки оказывает изотоп ^{164}Ho , распадающийся по β^+ , β^- каналам со сравнимой интенсивностью, образование изотопов с $Z = 66$ и $Z = 68$ также происходит со сравнимой интенсивностью. Поэтому в траектории трансмутации происходит слабое изменение Z_ρ . Так, в начальный момент $Z_\rho(t = 0) = 67$, а к концу облучения $Z_\rho(t = 30 \text{ мес}) = 66.93$. Изменение A_ρ происходит от $A_\rho(t = 0) = 165$ до $A_\rho(t = 30 \text{ мес}) = 164.6$. Небольшое изменение A обусловлено тем, что при интенсивности потока γ -квантов $\Phi = 10^{17}$ фотон \times с $^{-1}$ сгорает около 28% исходного изотопа ^{165}Ho и в процесс трансмутации вовлечено небольшое количество изотопов. Так как к концу облучения преимущественно образуются стабильные изотопы, изменение Z_ρ в результате последующих β -распадов практически не происходит, что хорошо видно на рис. 3.

В результате облучения ^{165}Ho образуются две группы атомных ядер с $Z = 66$ и $Z = 68$. Образование этих двух химических элементов обусловлено каналами распада изотопа ^{164}Ho . Образование самого легкого изотопа Er происходит в результате реакции $^{164}\text{Er}(\gamma, 2n) ^{162}\text{Er}$, что находится в качественном согласии с ранее проведенными исследованиями [2]. Образование изотопов Ho с $A < 163$ в результате реакций (γ, n) , $(\gamma, 2n)$ оказывается сильно подавленным, так как изотопы $^{160-162}\text{Ho}$ являются β^+ -радиоактивными с соответствующими периодами полураспада ^{160}Ho ($T_{1/2} = 25.6$ мин), ^{161}Ho ($T_{1/2} = 2.48$ ч), ^{162}Ho ($T_{1/2} = 15$ мин). В результате $(\gamma, 2n)$ образуется только один радиоактивный изотоп ^{163}Ho с большим периодом полураспада $T_{1/2} = 4570$ лет. В связи с тем что изотопы Dy являются стабильными, их образование происходит преимущественно в результате (γ, n) , $(\gamma, 2n)$ реакций. Так как канал реакции (γ, p) составляет 5%, он играет существенную роль только в образовании двух изотопов — ^{162}Dy и ^{164}Dy .

Литература

- Varlamov A.V., Varlamov V.V., Rudenko D.S., Stepanov M.E. // Atlas of Giant Dipole Resonance. IAEA Nuclear Data Section. Austria, Vienna, 1999.
- Исханов Б.С., Павлов С.И. // Вестн. Моск. ун-та. Физ. Астрон. 2002. № 1. С. 21 (Moscow University Phys. Bull. 2002. N 1. P. 16).

Поступила в редакцию
03.07.03

УДК 539.17

К ВОЗМОЖНОСТИ ПОЛУЧЕНИЯ ИНВЕРСИИ НАСЕЛЕНИЙ МЕЖДУ ЯДЕРНЫМИ УРОВНЯМИ

А. В. Андреев, Р. А. Чалых

(кафедра общей физики и волновых процессов)

E-mail: andreev@srl.phys.msu.su

Рассмотрена возможная схема получения инверсии населеностей между первым возбужденным и основным состояниями ядра Ge^{73} , основанная на селекции ядер в первом возбужденном состоянии. Проведено моделирование динамики инверсии в этой схеме и проанализировано влияние параметров системы на инверсию населеностей.

Введение

Возможность получения инверсии населеностей между ядерными уровнями вызывает большой интерес в связи с перспективой создания усилителя или генератора направленного когерентного гамма-излучения. Для достижения инверсии необходимо обеспечить либо накачку ядер в промежуточное возбужденное состояние, либо селекцию ядер,

уже образовавшихся в возбужденном состоянии в результате различных внутриядерных процессов, например, радиоактивного распада. В настоящей работе обсуждается вторая возможность.

Для селекции ядер, находящихся в изомерных возбужденных состояниях, могут быть применены методы лазерного разделения изотопов [1–4], в которых селективность достигается за счет высокой